

Reducción de escala de datos satelitales a través del modelo de Bosque Aleatorio

Matías Palma Manterola

Universidad de La Frontera

Octubre, 2022



UNIVERSIDAD DE LA FRONTERA

Tabla de Contenidos

1 Introducción

2 Fundamentos Teóricos

3 Metodología

4 Resultados

5 Conclusiones



Contexto y descripción del problema

- Almacén de aguas subterráneas.
 - Calidad.
 - Cantidad.
 - Ampliamente distribuidas.
- Sobreexplotación.
 - Disminución del nivel.
- Monitoreo de cuencas.
- Satélite GRACE.
 - Estimación del agua total presente.



Satélite GRACE

- *Gravity Recovery And Climate Experiment.*
- Satélites que orbitan sobre la Tierra.
 - 200 Km de distancia entre ellos.
- Captar movimientos de las aguas.
 - Contrarrestar:
 - Sequías.
 - Inundaciones.
 - Socavones.
- Mediciones a baja resolución.

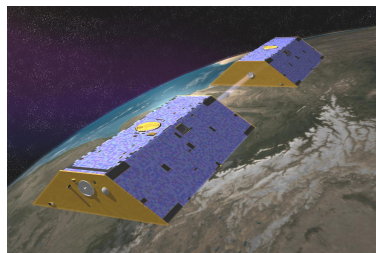


Figura 1: Misión GRACE lanzada el año 2002.



UNIVERSIDAD DE LA FRONTERA

Anomalías TWS

- *Terrestrial Water Storage*
- Agua almacenada sobre y debajo de la superficie.
 - Agua de desel.
 - Ríos y lagos.
 - Humedad de suelo.
 - Aguas subterráneas.

Anomalía TWS

$$TWS_t = \frac{TWS_t - \mu}{\delta}, \quad \mu, \delta \in \mathbb{R}$$



Downscaling

- Inferir información de alta resolución.
 - Datos satelitales.
 - Imágenes.
- Enfoques dinámicos o estadísticos.
 - Meteorología.
 - Climatología
 - Teledetección

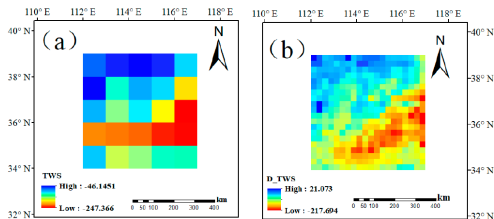


Figura 2: Reducción de escala.



Objetivo general y específicos

Objetivo general

- Implementar un aumento de resolución a datos satelitales proporcionados por GRACE a través de un modelo predictivo para obtener productos grillados en Chile a alta resolución.

Objetivos específicos

- Definir la metodología.
- Recolectar datos necesarios.
- Preprocesar los datos.
- Implementar y entrenar el modelo predictivo.
- Validar predicciones en base a observaciones *in situ*.



Tabla de Contenidos

1 Introducción

2 Fundamentos Teóricos

3 Metodología

4 Resultados

5 Conclusiones



Árboles de decisión

- Algoritmo de aprendizaje automático del tipo supervisado.
- Segmentación recursiva del espacio de predicción en regiones regulares.
 - Media.
 - Moda.
- Posee ciertas desventajas
 - Inestabilidad.
 - Rendimiento predictivo menor al óptimal.
- Minimiza la suma de cuadrados de cada región.



Random Forest

- Conjunto de árboles de decisión.
 - *Bootstrap sample.*
- Contrarresta la inestabilidad de los árboles.
- Mejor generalización en la predicción.
- Menos susceptible al sobreajuste.



Índice de Correlación de Pearson

- Busca cuantificar la similitud lineal en las tasas de crecimiento.

Índice de Correlación

Sean S_1 y S_2 dos series temporales con observaciones u_1, \dots, u_p y v_1, \dots, v_p , respectivamente, entonces

$$R^2(S_1, S_2) = \frac{\sum_{j=1}^p \sum_{i=1}^p (u_i - \bar{u}_j)(v_i - \bar{v}_j)}{\sqrt{\sum_{i=1}^p (u_i - \bar{u})^2} \sqrt{\sum_{i=1}^p (v_i - \bar{v})^2}} \in [-1, 1]$$



Tabla de Contenidos

1 Introducción

2 Fundamentos Teóricos

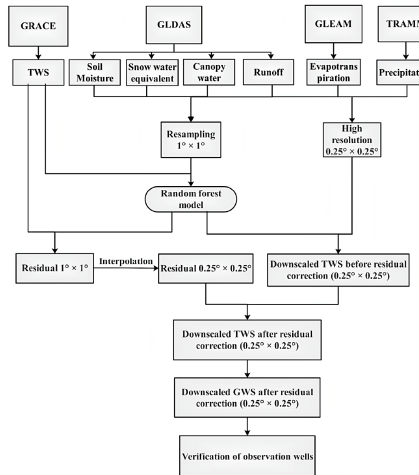
3 Metodología

4 Resultados

5 Conclusiones



Downscaling of GRACE-Derived Groundwater Storage Based on the Random Forest Model



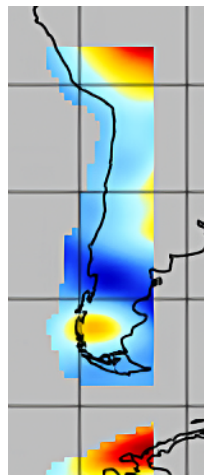
Dominio espacio-temporal

- Territorio continental chileno.
 - Longitud desde 63.5°E hasta 79.5°E.
 - Latitud 16.5°S hasta 69.5°S
- Aumento de resolución de productos grillados desde abril del año 2002 hasta febrero del año 2017.



GRACE TWS

- Anomalías TWS.
- Datos globales mensuales.
- Resolución a 1° (~ 110 Km).
- lwe_thickness: grosor de agua líquida equivalente.



ERA5-Land

- Representa la evolución de variables terrestres.
 - Humedad de suelo.
 - Nieve equivalente en agua.
 - Evapotranspiración.
 - Agua de dosel.
 - Escorrentía.
- Combina datos de modelos con observaciones.
- Datos globales mensuales
- Resolución de 0.1° (~ 9 Km)



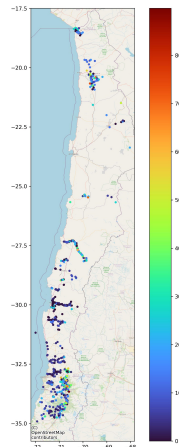
(CR)²-met

- Información meteorológica
 - Precipitación.
 - Temperatura.
- Datos muestreados diariamente para el territorio continental.
- Modelos estadísticos para traducir diversos componentes.
- Resolución de 0.05° (~ 5 Km)



Dirección General de Aguas

- Observaciones de pozos de bombeo.
- Mediciones diarias para la zona centro y norte del país.
- Mide profundidad (m) del pozo.
 - Mayor profundidad implica menor cantidad de agua disponible.



Remuestreo espacial



Remuestreo temporal



Conjunto de entrenamiento y de prueba

- Alta variabilidad climatológica en el territorio.
- Estratificación de datos.
 - Disminución de sesgo.
 - Predicciones coherentes respecto a la naturaleza de las variables.



Figura 3: Macrozonas de Chile.



Tabla de Contenidos

1 Introducción

2 Fundamentos Teóricos

3 Metodología

4 Resultados

5 Conclusiones



Métricas de validación

Modelo RF	MAE	RMSE
Minimización mse	$5,69 \times 10^{-3}$	$6,23 \times 10^{-5}$
Minimización mae	$6,15 \times 10^{-3}$	$7,25 \times 10^{-5}$

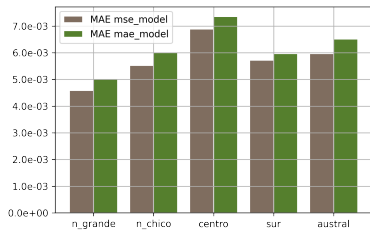


Figura 4: Error medio absoluto

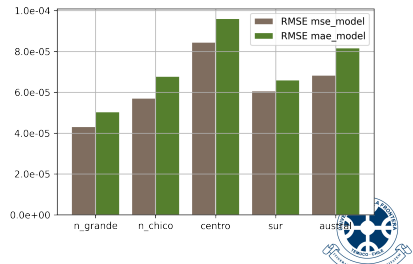
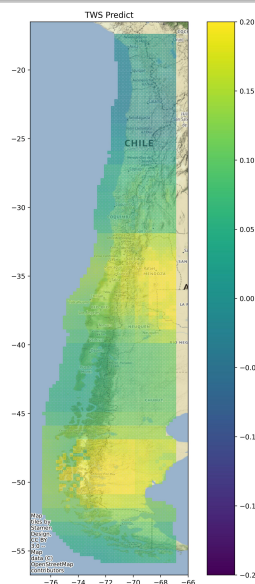
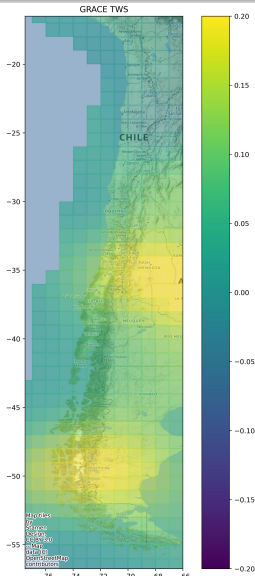
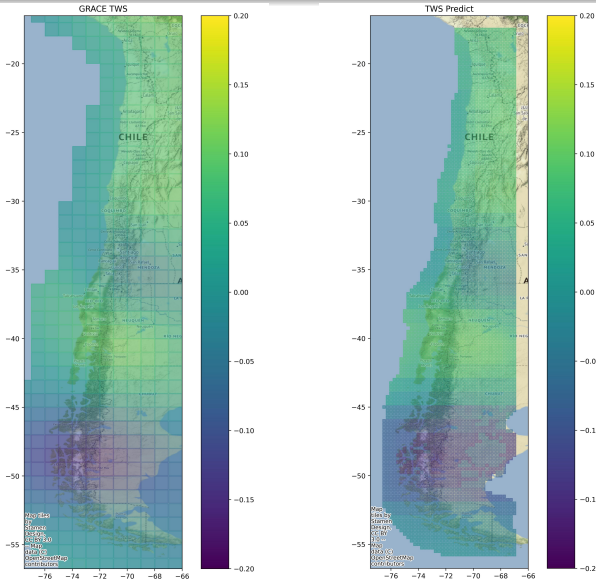


Figura 5: Raíz del error cuadrático medio
UNIVERSIDAD DE LA FRONTERA



UNIVERSIDAD DE LA FRONTERA



VERSIDAD DE LA FRONTERA

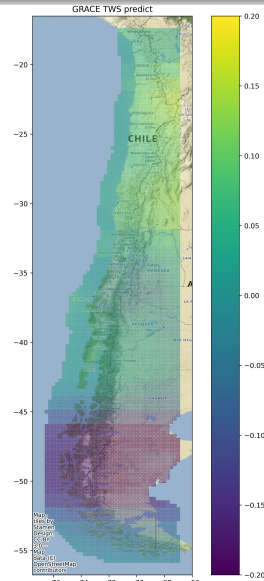
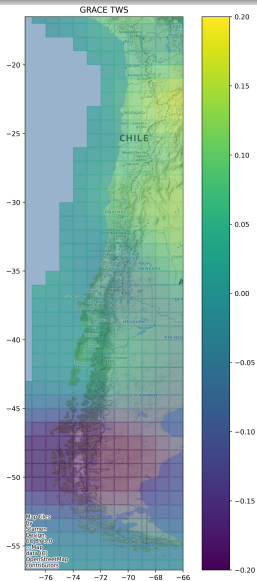




Tabla de Contenidos

1 Introducción

2 Fundamentos Teóricos

3 Metodología

4 Resultados

5 Conclusiones



